

# การพัฒนาแบบจำลองคลื่นพลศาสตร์แบบ อิมเพลซิทแบบหนึ่งมิติ \*

พรรรณพิมพ์ พุทธรักษ์<sup>1)</sup> นุชナルาถ ศรีวงศิตานันท์<sup>2)</sup> และสุรชัย ลิปิวัฒนาการ<sup>3)</sup>

<sup>1), 2), 3)</sup> ภาควิชาวิศวกรรมทรัพยากรน้ำ คณะวิศวกรรมศาสตร์ มหาวิทยาลัยเกษตรศาสตร์

## บทคัดย่อ

การศึกษานี้มีวัตถุประสงค์เพื่อการพัฒนาแบบจำลองคลื่นพลศาสตร์แบบอิมเพลซิทแบบหนึ่งมิติ โดยเรียกชื่อว่า แบบจำลองคลื่นพลศาสตร์ (Dynamic Wave Model; DYMWA) ซึ่งมีความสามารถในการจำลองสภาพการไหลที่เปลี่ยนแปลงไปตามเวลาแบบหนึ่งมิติ ที่ได้รับผลกระทบจากการเกิดน้ำท่วมและการขึ้นลงของระดับน้ำทะเลได้ โดยสมการพื้นฐานของแบบจำลองคือ สมการเซนต์-วันเนอร์ ซึ่งอยู่ในรูปสมการอนุพันธ์บ้างส่วนแบบไม่เป็นเส้นตรง การแก้ปัญหาสมการใช้วิธีผลต่างสี่บันเดองแบบอิมเพลซิท โดยวิธีการถ่วงน้ำหนักของจุด 4 จุด และใช้วิธี Newton-Raphson สำหรับการแก้ปัญหาระบบสมการแบบไม่เป็นเส้นตรง แบบจำลอง DYMWA ได้ถูกนำไปประยุกต์กับพื้นที่ลุ่มน้ำปิงตอนบน เพื่อตรวจสอบความสามารถในการศึกษาสภาพการไหลในกรณีที่ได้รับผลกระทบจากการเกิดน้ำท่วม ผลการศึกษาพบว่า แบบจำลอง DYMWA มีความสามารถในการจำลองแบบสภาพการไหลดังกล่าวได้เป็นอย่างดี จากนั้นได้ทำเปรียบเทียบความสามารถของแบบจำลอง DYMWA กับ แบบจำลองอุทกพลศาสตร์ MIKE 11 (MIKE 11 HD) โดยได้นำแบบจำลอง MIKE 11 HD มาประยุกต์ใช้กับกรณีศึกษาเดียวกัน โดยแบบจำลองทั้งสองสามารถวิเคราะห์ลักษณะเฉพาะของการไหลได้ใกล้เคียงกันมาก

\* รับต้นฉบับเมื่อวันที่ 6 พฤษภาคม 2547 และได้รับความเห็นชอบจากผู้ทรงคุณวุฒิเมื่อวันที่ 24 พฤษภาคม

# Development of One Dimensional Implicit Dynamic Wave Model\*

**Punpim Puttaraksa<sup>1)</sup> Nutchanart Sriwongsitanon<sup>2)</sup> and Surachai Lipiwattanakarn<sup>3)</sup>**

<sup>1), 2), 3)</sup> Department of Water Resources Engineering Faculty of Engineering, Kasetsart University

## Abstract

This study has an objective to develop one dimensional implicit dynamic wave model. The model is named the Dynamic Wave model (DYMWAV) that can be used to simulate one dimensional unsteady flow situation with backwater and tidal effects. The fundamental equations of the DYMWAV model are the Saint-Venant equations which are the nonlinear partial differential equations. These equations are solved by using the implicit weighted four points finite difference, and the Newton Raphson's method is used to solve the nonlinear equations. The DYMWAV model was applied to the Upper Ping River Basin to investigate the model performance for the flow situations affected by backwater. The results showed that the DYMWAV model simulated these flow situations satisfactorily. The performance of the DYMWAV model was then compared with the performance of the MIKE 11 Hydrodynamic model (MIKE 11 HD). This was carried out by applying the MIKE 11 HD model on the same case study as applied to the DYMWAV model. The simulation results from the two models showed very well corresponding flow characteristics.

**Keywords:** Saint-Venant Equations, Dynamic Wave, Implicit Finite Difference, Nonlinear Partial Differential Equations, Backwater Effect, Tidal Effect, Upper Ping River Basin

## บทนำ

จากอดีตจนถึงปัจจุบันได้มีนักวิจัยที่ทำการพัฒนาแบบจำลองคณิตศาสตร์เพื่อวิเคราะห์การเคลื่อนที่ของน้ำในลำน้ำแบบหนึ่งมิติเป็นจำนวนมาก โดยมีพื้นฐานของแบบจำลอง คือสมการเซนต์-วีแนนท์ ซึ่งอยู่ในรูปสมการอนุพันธ์บางส่วนแบบไม่เป็นเส้นตรง อย่างไรก็ตาม ในการแก้ปัญหาระบบสมการแบบไม่เป็นเส้นตรงมีความยุ่งยากซับซ้อน เป็นสาเหตุให้นักวิจัยพยายามลดความยุ่งยากดังกล่าวลง โดยการเปลี่ยนระบบสมการแบบไม่เป็นเส้นตรงให้อยู่ในรูปแบบสมการแบบเป็นเส้นตรง เพื่อให้สามารถแก้ปัญหาได้ง่ายขึ้น อาทิเช่น Meijer et al. (1965) ได้พัฒนาวิธีการจำลองแบบ "Node and Branch" ใน การคำนวณโครงข่าย (Network) ของทางน้ำ เปิดที่มีการไหลแบบเปลี่ยนแปลงไปตามเวลา (Unsteady Flow) โดยประยุกต์ใช้กับทางน้ำที่เรื่อมต่อระหว่างอ่างเก็บน้ำขนาดใหญ่ 2 อ่าง ต่อมาก Torranin (1969) ได้พัฒนาแบบจำลองแบบหนึ่งมิติเพื่อใช้ในการแก้ปัญหาการไหลแบบเปลี่ยนแปลงไปตามเวลาในระบบการไหลในทางน้ำเปิด สำหรับทางน้ำเพียงสายเดียว (Single Reach) ต่อมาก Chatrcharoenmitr (1977) ได้พัฒนาแบบจำลองที่นำมาใช้ในการศึกษาสภาพการไหลของระบบแม่น้ำเจ้าพระยาจากบางไทรไปจนถึงเขื่อนเจ้าพระยา โดยการนำแบบจำลองของการเก็บกักในทุ่งน้ำท่วม (Storage Flood Plain) และแบบจำลอง Node and Branch มาเชื่อมด้วยสมการของฝาย จากนั้น Vatcharasinthu (1977) ได้พัฒนาแบบจำลองแบบหนึ่งมิติสำหรับทางน้ำสายเดียว ที่ใช้ในการอธิบายการไหลในลำน้ำและการไหลในทุ่งน้ำท่วม ในปี ค.ศ. 1978 Tingsanchali and Arbabhirama ได้ทำการพัฒนาแบบจำลองโดยการผสมผสานระหว่างแบบจำลองทางน้ำสายเดียว ซึ่งพัฒนาโดย Torranin (1969) และแบบจำลอง Node and Branch ตลอดจนแบบจำลองการเก็บกักในทุ่งน้ำท่วม ซึ่งพัฒนาโดย Chatrcharoenmitr (1977) โดยที่แบบจำลองนี้สามารถใช้ในการจำลองสภาพของระบบลำน้ำที่เป็นโครงข่าย เพื่อใช้ในการคาดการณ์ปริมาณน้ำหลากระดับต่ำ และการศึกษาถึงผลของการชุดลอกแม่น้ำที่มีผลต่อการเปลี่ยนแปลงของระดับน้ำ สำหรับงานวิจัยนี้ได้พัฒนาแบบจำลองคลื่นพลศาสตร์แบบอิมเพลซิทแบบหนึ่งมิติที่สามารถจำลองสภาพการไหลที่เปลี่ยนแปลงไปตามเวลาในระบบการไหลในทางน้ำเปิด และการไหลที่ได้รับผลกระทบจากการเกิดน้ำท้อ และการขึ้นลงของน้ำทะเลได้ รวมทั้งสามารถศึกษาระบบลำน้ำที่เป็นโครงข่ายได้ โดยมีสมการพื้นฐานเดียว กันคือ สมการเซนต์-วีแนนท์ อย่างไรก็ตาม ความแตกต่างที่เด่นชัดประการสำคัญคือ แบบจำลองนี้ได้ทำการแก้ปัญหาระบบสมการแบบไม่เป็นเส้นตรงของสมการเซนต์-วีแนนท์ ด้วยวิธี Newton-Raphson ซึ่งเป็นเทคนิคการวนซ้ำ จากนั้นได้นำแบบจำลองที่พัฒนาขึ้นมาประยุกต์ใช้กับลุ่มน้ำปิงตอนบน รวมทั้งตรวจสอบความสามารถของแบบจำลองนี้กับแบบจำลอง MIKE 11 HD ซึ่งได้รับการยอมรับกันอย่างแพร่หลาย

## แบบจำลองคลื่นพลศาสตร์แบบหนึ่งมิติ

### สมการพื้นฐาน

สมการพื้นฐานของแบบจำลองคลื่นพลศาสตร์แบบหนึ่งมิติคือ สมการเซนต์-เวแนนท์ (Saint-Venant Equations) ซึ่งใช้อธินายการไหลในทางน้ำเปิดที่เปลี่ยนแปลงไปตามเวลาแบบหนึ่งมิติ (One-Dimensional Unsteady Open Channel Flow) โดยประกอบด้วยสมการ 2 สมการ คือ สมการต่อเนื่อง (Continuity Equation) และสมการโมเมนตัม (Momentum Equation) ดังแสดงตามลำดับดังนี้

### สมการต่อเนื่อง

$$\frac{\partial Q}{\partial x} + \frac{\partial A}{\partial t} - q = 0 \quad (1)$$

### สมการโมเมนตัม

$$\frac{\partial Q}{\partial t} + \frac{\partial (\beta Q^2 / A)}{\partial x} + gA \left( \frac{\partial h}{\partial x} + S_f + S_e \right) - \beta q v_x + W_f B = 0 \quad (2)$$

เมื่อ  $x$  คือ ระยะทางในแนวราบตามแนวทางน้ำและแม่น้ำ  $t$  คือ เวลา  $Q$  คือ อัตราการไหล  $A$  คือหน้าตัดของ การไหล  $q$  คือ ปริมาณการไหลเข้าด้านข้าง (Lateral Inflow) ต่อหนึ่งหน่วย ความยาวของทางน้ำ  $h$  คือ ระดับผิวน้ำ  $v_x$  คือ ความเร็วของปริมาณการไหลเข้าด้านข้างในทิศทางของ การไหลในทางน้ำ  $S_f$  คือ ความลาดชันของความเสียดทาน (Friction Slope)  $S_e$  คือ ความลาดชันของ Eddy Loss  $B$  คือ ความกว้างของทางน้ำที่ผิวน้ำ  $W_f$  คือ แรงเฉือนเนื่องจากลม (Wind Shear Force)  $\beta$  คือ แฟคเตอร์ปรับค่าโมเมนตัม (Monentum Correction Factor) และ  $g$  คือ ความเร่งเนื่องจากแรงโน้มถ่วง

### วิธีการแก้ปัญหา

เนื่องจากสมการเซนต์-เวแนนท์ อยู่ในรูปของสมการอนุพันธ์บางส่วนแบบไม่เป็นเส้นตรง (Nonlinear Partial Differential Equation) ซึ่งประกอบด้วยอนุพันธ์ของระยะทาง และอนุพันธ์ของเวลา การแก้สมการสามารถทำได้โดยวิธีการเชิงตัวเลข (Numerical Schemes) สำหรับในงานวิจัยนี้ได้ใช้วิธี การประมาณค่าแบบผลต่างสี่เหลี่ยมแบบอิมพลิชิก (Implicit Finite Difference) ด้วยวิธีการถ่วงน้ำหนัก ของจุด 4 จุด (Implicit Weighted Four-Point Method) เพื่อเปลี่ยนชุดของสมการอนุพันธ์บางส่วน (The System of Partial Differential Equations) ให้อยู่ในชุดของสมการผลต่างสี่เหลี่ยม (The System of

Finite Difference Equations) แบบไม่เป็นเส้นตรงดังแสดงในสมการต่อไปนี้ โดยนำวิธี Newton-Raphson มาใช้ในการแก้ระบบสมการแบบไม่เป็นเส้นตรง

สมการต่อเนื่อง

$$\theta(Q_{i+1}^{j+1} - Q_i^{j+1} - \bar{q}_i^{j+1} \Delta x_i) + (1-\theta)(Q_{i+1}^j - Q_i^j - \bar{q}_i^j \Delta x_i) + \frac{\Delta x_i}{2 \Delta t_j} [(A + A_o)_i^{j+1} + (A + A_o)_{i+1}^{j+1} - (A + A_o)_i^j - (A + A_o)_{i+1}^j] = 0 \quad (3)$$

สมการโมเมนตัม

$$\begin{aligned} & \frac{\Delta x_i}{2 \Delta t_j} (Q_i^{j+1} + Q_{i+1}^{j+1} - Q_i^j - Q_{i+1}^j) \\ & + \theta \left\{ \left( \frac{\beta Q^2}{A} \right)_{i+1}^{j+1} - \left( \frac{\beta Q^2}{A} \right)_i^{j+1} + g \bar{A}_i^{j+1} [h_{i+1}^{j+1} - h_i^{j+1} + (\bar{S}_f)_i^{j+1} \Delta x_i + (\bar{S}_e)_i^{j+1} \Delta x_i] \right. \\ & \quad \left. - (\bar{\beta} q v_x)_i^{j+1} \Delta x_i + (\bar{W}_f \bar{B})_i^{j+1} \Delta x_i \right\} \\ & + (1-\theta) \left\{ \left( \frac{\beta Q^2}{A} \right)_{i+1}^j - \left( \frac{\beta Q^2}{A} \right)_i^j + g \bar{A}_i^j [h_{i+1}^j - h_i^j + (\bar{S}_f)_i^j \Delta x_i + (\bar{S}_e)_i^j \Delta x_i] \right. \\ & \quad \left. - (\bar{\beta} q v_x)_i^j \Delta x_i + (\bar{W}_f \bar{B})_i^j \Delta x_i \right\} = 0 \end{aligned} \quad (4)$$

## วิธีการศึกษา

การพัฒนาแบบจำลองคลื่นพลศาสตร์แบบอิมเพลซิตี้แบบหนึ่งมิติ

ในการพัฒนาแบบจำลองคลื่นพลศาสตร์แบบอิมเพลซิตี้แบบหนึ่งมิตินั้นได้ทำการเขียนโปรแกรมคอมพิวเตอร์ด้วยโปรแกรม Visual Basic.Net ซึ่งง่ายต่อการใช้งาน โดยแบบจำลองที่ได้พัฒนาขึ้นใช้ชื่อว่า แบบจำลอง DYMWAV (Dynamic Wave) เวอร์ชัน 1.0 โดยรายละเอียดของขั้นตอนการทำงานของแบบจำลองสรุปได้ดังนี้

1. การรับข้อมูลด้านเข้า โดยข้อมูลด้านเข้าแบ่งออกเป็น 3 ประเภท คือ
  - 1.1 ข้อมูลพารามิเตอร์ของแบบจำลอง ประกอบด้วย ช่วงระยะเวลา ( $\Delta t$ ) และ

## สัมประสิทธิ์ Implicit ( $\theta$ )

1.2 ข้อมูลด้านอุทกวิทยาและอุทกพลศาสตร์ที่อยู่ในลักษณะของอนุกรมเวลา (Time Series) สำหรับใช้ในการกำหนดเงื่อนไขของขอบเขต เงื่อนไขเริ่มต้น และปริมาณการไหลเข้าด้านข้าง สำหรับลำน้ำสายหลักและสาขา โดยข้อมูลเหล่านี้ ได้แก่ ข้อมูลกราฟนำท้าของปริมาณการไหลเข้า (Inflow Hydrograph) ข้อมูลระดับน้ำหงang (Tidal Data) และข้อมูลโคงความสัมพันธ์ระหว่างปริมาณการไหลและระดับน้ำ (Rating Curve) เป็นต้น

1.3 ข้อมูลรูปตัดขวางของลำน้ำและค่าสัมประสิทธิ์ความชุกระของแม่น้ำ ของแต่ละรูปตัด ขวางของลำน้ำสำหรับลำน้ำสายหลักและสาขา

2. การวิเคราะห์ข้อมูลด้านเข้า โดยการวิเคราะห์ในแต่ละส่วนสรุปได้ดังต่อไปนี้

### 2.1 การวิเคราะห์ข้อมูลรูปตัดขวางของลำน้ำ

การวิเคราะห์ข้อมูลรูปตัดขวางของลำน้ำเป็นการวิเคราะห์ลักษณะเฉพาะต่าง ๆ ของลำน้ำที่ได้จากข้อมูลการสำรวจ ซึ่งประกอบด้วย การคำนวณความกว้างลำน้ำ ( $B$ ) พื้นที่หน้าดักขวางของลำน้ำ ( $A$ ) รัศมี ชลศาสตร์ ( $R$ ) และสันของเบี่ยง ( $P$ ) เพื่อนำไปคำนวณหาความสัมพันธ์ของลักษณะเฉพาะของลำน้ำกับระดับน้ำที่เปลี่ยนแปลงในแต่ละรูปตัดขวางของลำน้ำ

2.2 การวิเคราะห์ข้อมูลอนุกรมเวลาโดยการหาค่าในระหว่าง (Interpolation) จากข้อมูลที่บันทึกไว้ในแต่ละช่วงเวลาของลำน้ำสายหลักและสาขา

2.3 การวิเคราะห์ข้อมูลเงื่อนไขเริ่มต้น (Initial Condition) เพื่อให้ได้ค่าต่าง ๆ บนเส้นเวลา (Time Line)  $j$  ซึ่งประกอบด้วยค่าของ  $Q_i^j, Q_{i+1}^j, h_i^j, h_{i+1}^j, A_i^j, A_{i+1}^j, B_i^j$  และ  $B_{i+1}^j$  ในสมการผลต่างสี่บันทึกของสมการต่อเนื่องและสมการโมเมนตัม (สมการที่ 3 และ 4) ของลำน้ำสายหลักและสาขา

3. การตรวจสอบโครงข่ายการไหลของลำน้ำที่ศึกษาว่าเป็นลำน้ำสายเดียวหรือมีลำน้ำสาขารวมอยู่ด้วยสำหรับในกรณีที่มีลำน้ำสาขารวมอยู่ด้วยจะทำการสมมติปริมาณการไหลของลำน้ำสาขาเปรียบเสมือนเป็นปริมาณการไหลเข้าด้านข้าง ( $q^{**}$ ) ของลำน้ำสายหลัก จากนั้นทำการวิเคราะห์อัตราการไหลและระดับน้ำที่ระยะทางต่าง ๆ ของลำน้ำสายหลักด้วยวิธี Newton-Raphson (ตามขั้นตอนที่ 4) สำหรับกรณีที่โครงข่ายการไหลประกอบด้วยลำน้ำเพียงสายเดียวจะขั้นตอนการสมมติปริมาณการไหลด้านข้าง โดยทำการวิเคราะห์อัตราการไหลและระดับน้ำที่ระยะทางต่าง ๆ ของลำน้ำสายหลักด้วยวิธี Newton-Raphson เท่านั้น

4. การวิเคราะห์อัตราการไหลและระดับน้ำที่ระยะทางต่าง ๆ ของแม่น้ำสายหลักด้วยวิธี Newton-Raphson ซึ่งสามารถแสดงในรูปเมตริกได้ดังแสดงในภาพที่ 1 และสามารถเขียนในรูปสมการง่ายๆ ได้ดังนี้

$$[Z][\Delta x_i] = -[F_i] \quad (5)$$

เมื่อ  $[Z]$  คือ Jacobian ซึ่งหมายถึงเมตริกสัมประสิทธิ์ (Coefficient Matrix) สำหรับอนุพันธ์

บางส่วนลำดับที่ 1 –  $[F_i]$  คือ เวกเตอร์ที่เป็นลบของส่วนที่เหลืออยู่ (Vector of the Negative of the Residuals) โดยการคำนวณในส่วนนี้มีขั้นตอนต่าง ๆ สรุปได้ดังนี้

$$\begin{array}{c|c|c}
 \text{Upstream boundary} & \frac{\partial \text{UB}}{\partial h_1} \frac{\partial \text{UB}}{\partial Q_1} & dh_1 \quad -\text{RUB} \\
 C_1 & \frac{\partial C_1}{\partial h_1} \frac{\partial C_1}{\partial Q_1} \frac{\partial C_1}{\partial h_2} \frac{\partial C_1}{\partial Q_2} & dQ_1 \quad -\text{RC}_1 \\
 M_1 & \frac{\partial M_1}{\partial h_1} \frac{\partial M_1}{\partial Q_1} \frac{\partial M_1}{\partial h_2} \frac{\partial M_1}{\partial Q_2} & dh_2 \quad -\text{RM}_1 \\
 C_2 & \frac{\partial C_2}{\partial h_2} \frac{\partial C_2}{\partial Q_2} \frac{\partial C_2}{\partial h_3} \frac{\partial C_2}{\partial Q_3} & dQ_2 \quad -\text{RC}_2 \\
 M_2 & \frac{\partial M_2}{\partial h_2} \frac{\partial M_2}{\partial Q_2} \frac{\partial M_2}{\partial h_3} \frac{\partial M_2}{\partial Q_3} & dh_3 \quad -\text{RM}_2 \\
 C_3 & \frac{\partial C_3}{\partial h_3} \frac{\partial C_3}{\partial Q_3} \frac{\partial C_3}{\partial h_4} \frac{\partial C_3}{\partial Q_4} & dQ_3 \quad -\text{RC}_3 \\
 M_3 & \frac{\partial M_3}{\partial h_3} \frac{\partial M_3}{\partial Q_3} \frac{\partial M_3}{\partial h_4} \frac{\partial M_3}{\partial Q_4} & dh_4 \quad -\text{RM}_3 \\
 C_4 & \frac{\partial C_4}{\partial h_4} \frac{\partial C_4}{\partial Q_4} \frac{\partial C_4}{\partial h_5} \frac{\partial C_4}{\partial Q_5} & dQ_4 \quad -\text{RC}_4 \\
 M_4 & \frac{\partial M_4}{\partial h_4} \frac{\partial M_4}{\partial Q_4} \frac{\partial M_4}{\partial h_5} \frac{\partial M_4}{\partial Q_5} & dh_5 \quad -\text{RM}_4 \\
 \text{Downstream boundary} & \frac{\partial \text{DB}}{\partial h_5} \frac{\partial \text{DB}}{\partial Q_5} & dQ_5 \quad -\text{RDB}
 \end{array} =$$

Cross section 1 2 3 4 5  
Reach 1 2 3 4

ภาพที่ 1 เมตริกสำหรับการแก้ปัญหาด้วยวิธี Newton-Raphson สำหรับแม่น้ำที่แบ่งออกเป็น 4 ช่วงลำดับ (Chow et al, 1988)

4.1 การสมมติค่าเริ่มต้นของเทอมที่ไม่ทราบค่าบนเส้นเวลา  $j+1$  ในสมการผลต่างสิบเนื้องของสมการต่อเนื่องและสมการโมเมนตัม (สมการที่ (3) และ (4)) ซึ่งเทอมที่ไม่ทราบค่าประกอบด้วย  $Q_i^{j+1}, Q_{i+1}^{j+1}, h_i^{j+1}, h_{i+1}^{j+1}, A_i^{j+1}, A_{i+1}^{j+1}, B_i^{j+1}$  และ  $B_{i+1}^{j+1}$  อย่างไรก็ตาม เทอมเหล่านี้สามารถแสดงในรูปฟังก์ชันของเทอมที่ไม่ทราบค่า  $Q_i^{j+1}, Q_{i+1}^{j+1}, h_i^{j+1}$  และ  $h_{i+1}^{j+1}$  ได้ในรูปของ  $x^k = (Q_i^k, h_i^k, \dots, Q_N^k, h_N^k)$  ในเมื่อ  $k$  คือ จำนวนครั้งของการสมมติ

4.2 การคำนวณค่าที่เหลืออยู่ในเวกเตอร์ส่วนที่เหลืออยู่ ( $\text{RUB}^k, \text{RC}_1^k, \text{RM}_1^k, \dots, \text{RC}_{N-1}^k, \text{RM}_N^k$  และ  $\text{RDB}^k$ ) โดยการแทนค่าเทอมต่างๆ ที่ได้จากขั้นตอน 2.3 และ 4.1 ลงในสมการผลต่างสิบเนื้องของสมการต่อเนื่องและสมการโมเมนตัม ในสมการที่ (3) และ (4) ตามลำดับ

4.3 การคำนวณค่าอนุพันธ์บางส่วนทุกเทอมที่อยู่ในเมตริกสัมประสิทธิ์ Jacobian ซึ่งประกอบด้วยอนุพันธ์ของสมการต่อเนื่อง อนุพันธ์ของสมการโมเมนตัม และอนุพันธ์ของเงื่อนไขขอบเขตด้าน

เห็นอันน้ำและด้านห้ายน้ำ เทียบกับอัตราการไหลและระดับน้ำที่ระบบทางต่างๆ ดังแสดงด้วยรูปที่ 1

4.4 การแก้ปัญหาเมติก โดยวิธี Gaussian Elimination เพื่อให้ได้ค่า  $dh_i$  และ  $dQ_i$

4.5 ทำการวิเคราะห์ค่าระดับน้ำ ( $h_i^{k+1}$ ) และอัตราการไหล ( $Q_i^{k+1}$ ) ที่ระบบทางต่างๆ จากสมการดังนี้

$$h_i^{k+1} = h_i^k + dh_i \quad (6)$$

$$Q_i^{k+1} = Q_i^k + dQ_i \quad (7)$$

4.6 การตรวจสอบเงื่อนไขการลู่เข้าหาค่าตอบโดยมีวิธีการดังนี้

$$|x^{k+1} - x^k| < \epsilon \quad (8)$$

ถ้าเงื่อนไขยอมรับไม่ได้จะนำค่าที่ได้จากขั้นตอนที่ 4.5 ไปเป็นค่าสมมติครั้งใหม่ที่  $(k+1)$  และเริ่มวิเคราะห์ดังเดิมขั้นตอนที่ 4.1 ใหม่ ในทางตรงกันข้ามถ้าเงื่อนไขยอมรับได้จะทำการตรวจสอบจำนวนช่วงเวลาว่าสิ้นสุดหรือไม่ ในกรณีที่ยังไม่สิ้นสุดก็จะเริ่มทำการวิเคราะห์ที่ช่วงเวลาต่อไป โดยใช้ค่า  $x^{k+1} = (Q_i^{k+1}, h_1^{k+1}, \dots, Q_N^{k+1}, h_N^{k+1})$  ที่ได้จากการคำนวณในขั้นตอนที่ 4.5 เป็นค่าเริ่มต้น

5. การเก็บข้อมูลระดับน้ำของแม่น้ำสายหลักที่เวลาต่างๆ ในกรณีที่ตรวจสอบว่ามีแม่น้ำสาขา บริเวณจุดบรรจบกับแม่น้ำสาขาซึ่งได้จากการวิเคราะห์ในขั้นตอนที่ 4 เพื่อนำมากำหนดเงื่อนไขขอบเขตด้านท้ายน้ำสำหรับแม่น้ำสาขาต่อไป

6. พิจารณาแม่น้ำสาขาโดยเบรย์บเนมีอนว่าเป็นแม่น้ำสายหลัก แล้วทำการวิเคราะห์ด้วยวิธี Newton-Raphson เมื่อในข้อ 4 เพื่อหาระยะทางการไหลที่จุดออกของแม่น้ำสาขา ( $q$ ) โดยมีเงื่อนไขขอบเขตด้านท้ายน้ำคือ ระดับน้ำบริเวณจุดบรรจบกับแม่น้ำสายหลักที่ได้เก็บรวบรวมไว้ในข้อ 5

7. ตรวจสอบเงื่อนไขการลู่เข้าหาค่าตอบระหว่างปริมาณการไหลเข้าด้านข้างที่สมมติกับปริมาณการไหลเข้าด้านข้างที่ได้จากการวิเคราะห์ดังนี้

$$|q - q^{**}| \leq \epsilon \quad (9)$$

ถ้าเงื่อนไขยอมรับได้ก็สิ้นสุดการคำนวณแต่ถ้าเงื่อนไขยอมรับไม่ได้ต้องนำ Iteration Algorithm (Fread, 1973) มาใช้เพื่อหาค่าปริมาณการไหลค่าใหม่  $q^*$  จากนั้นทำการวิเคราะห์ตั้งแต่ข้อที่ 1.3 ใหม่ โดยที่สามารถคำนวณ  $q^*$  ได้จากสมการต่อไปนี้

$$q^* = \alpha q + (1 - \alpha) q^{**} \quad (10)$$

เมื่อ  $\alpha$  = แฟคเตอร์ถ่วงน้ำหนัก (Weighting Factor)  $(0 < \alpha < 1)$

### การสอนเทียบและตรวจสอบแบบจำลอง

การสอนเทียบแบบจำลอง (Model Calibration) มีจุดประสงค์เพื่อต้องการหาค่าสัมประสิทธิ์ความชุกรของแม่นนิ่งสำหรับแต่ละรูปดัชน้ำของลำน้ำ สามารถทำได้โดยเลือกข้อมูลด้านอุทกศาสตร์ในอดีตที่มีการเก็บรวบรวมโดยหน่วยงานที่เกี่ยวข้องในพื้นที่ศึกษา ผลการประเมินทราบแล้วว่าของปริมาณการไหลและระดับน้ำที่ได้จากการจำลอง DYMWA V จะถูกนำมาเปรียบเทียบกับข้อมูลปริมาณการไหลและระดับน้ำที่ได้จากการตรวจสอบสถานะน้ำท่าต่าง ๆ ที่ตั้งแห่งที่ตั้งของสถานานั้น ๆ โดยที่ผลการเปรียบเทียบระหว่างข้อมูลทั้งสองต้องมีความแตกต่างกันไม่มากนักอยู่ ในกรณีที่ยอมรับได้ถ้าผลการเปรียบเทียบระหว่างข้อมูลทั้งสองมีความแตกต่างกันไม่มากนักอยู่ ในกรณีที่ยอมรับได้จะต้องเปลี่ยนแปลงค่า สัมประสิทธิ์ความชุกรของแม่นนิ่งแล้วทำการวิเคราะห์ปริมาณน้ำท่าและระดับน้ำโดยใช้แบบจำลอง DYMWA V ใหม่ จนกระทั่งความแตกต่างระหว่างข้อมูลทั้งสองมีค่าอยู่ในเกณฑ์ที่ยอมรับได้ จึงจะได้ค่าสัมประสิทธิ์ความชุกรของแม่นนิ่งที่สามารถเป็นตัวแทนของลำน้ำ

อย่างไรก็ตาม ก่อนที่จะนำค่าสัมประสิทธิ์ความชุกรของแม่นนิ่งไปใช้เพื่อการศึกษาในด้านอื่น ๆ จะต้องทำการตรวจสอบแบบจำลอง (Model Verification) เพื่อให้มั่นใจว่าสัมประสิทธิ์ความชุกรของแม่นนิ่งดังกล่าวสามารถนำไปประยุกต์กับการวิเคราะห์ปริมาณน้ำท่าเหตุการณ์นี้ได้ ซึ่งสามารถทำได้โดยเลือกเหตุการณ์น้ำท่าเหตุการณ์ใหม่ ถ้าผลการเปรียบเทียบระหว่างปริมาณน้ำท่าที่ได้จากการจำลอง DYMWA V และปริมาณน้ำท่าที่ได้จากการตรวจสอบวัดมีค่าใกล้เคียงกันจึงยอมรับได้ว่า สัมประสิทธิ์ความชุกรของแม่นนิ่งที่ได้จากการสอนเทียบแบบจำลองสามารถใช้เป็นตัวแทนลำน้ำได้ แต่ถ้าผลการเปรียบเทียบมีความแตกต่างกันมากเกินเกณฑ์ยอมรับได้ จะต้องทำการสอนเทียบและตรวจสอบแบบจำลองใหม่ เพื่อให้ได้ค่าสัมประสิทธิ์ความชุกรของแม่นนิ่งที่มีความเหมาะสมสำหรับเหตุการณ์น้ำท่าทั้งสองเหตุการณ์

เมื่อได้ค่าสัมประสิทธิ์ความชุกรของแม่นนิ่งที่มีความเหมาะสมและสามารถใช้เป็นตัวแทนลำน้ำได้แล้ว จึงนำแบบจำลอง MIKE 11 HD มาประยุกต์กับพื้นที่ศึกษาเดียวกัน โดยใช้ข้อมูลรูปดัชน้ำของลำน้ำและสัมประสิทธิ์ความชุกรของแม่นนิ่งค่าเดียวกันที่ได้ทำการสอนเทียบแบบจำลองลุ่มน้ำไว้โดยแบบจำลอง DYMWA V มาทำการศึกษาปริมาณน้ำท่าจากเหตุการณ์น้ำท่าเดียวกันที่ใช้ในการ

สอบเทียบและตรวจพิสูจน์แบบจำลอง DYMWA V จากนั้นนำผลที่ได้จากแบบจำลอง MIKE 11 HD มาเปรียบเทียบกับผลที่ได้จากแบบจำลอง DYMWA V ถ้าผลการเปรียบเทียบระหว่างปริมาณน้ำท่าที่ได้จากแบบจำลองหั้งสองมีความแตกต่างกันไม่มากนักและอยู่ในเกณฑ์ที่ยอมรับได้ สามารถสรุปได้ว่าแบบจำลอง DYMWA V มีความเหมาะสมที่จะนำไปประยุกต์ใช้งานได้อย่างถูกต้องต่อไป

### พื้นที่ศึกษาและการรวมข้อมูล

พื้นที่ศึกษาในงานวิจัยนี้ คือ ลุ่มน้ำปิงตอนบน โดยมีวัตถุประสงค์เพื่อศึกษาสภาพการไหลที่ได้รับผลกระทบจากการเกิดน้ำท่า ซึ่งรายละเอียดของพื้นที่ศึกษาสรุปได้ดังนี้

ลุ่มน้ำปิงตอนบนมีอาณาเขตครอบคลุมพื้นที่ลุ่มน้ำเหนือเขื่อนภูมิพล โดยมีพื้นลุ่มน้ำ 23,370 ตารางกิโลเมตร ขอบเขตของพื้นที่ศึกษาการไหลของน้ำเริ่มจากสถานีวัดน้ำท่า P.20 ซึ่งเป็นสถานีควบคุมด้านเหนือน้ำ (Upstream Boundary Control) จนถึงสถานีน้ำท่า PE.2 ซึ่งเป็นสถานีควบคุมด้านท้ายน้ำ (Downstream Boundary Control) รวมระยะทางระหว่างสถานีทั้งสอง 215.16 กิโลเมตร โดยที่ขอบเขตของพื้นที่ลุ่มน้ำและลุ่มน้ำย่อยของลุ่มน้ำปิงตอนบนแสดงในภาพที่ 2 สำหรับข้อมูลที่ใช้ในการศึกษาประกอบด้วย

1) แผนภูมิแสดงการไหลของน้ำในแม่น้ำปิงตอนบนและสาขา ดังแสดงในภาพที่ 3 เพื่อใช้ในการกำหนดเส้นทางการไหลของน้ำในแบบจำลอง

2) ข้อมูลกราฟน้ำท่าของสถานีวัดน้ำท่า P.20, P.4A, P.21, P.69, P.71, P.24A และ P.14 ซึ่งเป็นสถานีวัดน้ำท่าของน้ำแม่ปิง น้ำแม่แตง น้ำแม่เริม น้ำแม่กวาง น้ำแม่ขาน น้ำแม่กลาง และ น้ำแม่แฉม ตามลำดับ รวมหั้งข้อมูลปริมาณน้ำที่ปล่อยจากเขื่อนแม่วัด โดยข้อมูลดังกล่าวใช้ในการกำหนดเงื่อนไขข้อบทด้านเหนือน้ำในแม่น้ำปิงและสาขา ซึ่งในการศึกษานี้ได้เลือกเหตุการณ์กราฟน้ำท่าในระหว่างวันที่ 6 สิงหาคม 2542 ถึงวันที่ 9 กุฎภาพันธ์ 2543 สำหรับใช้ในการสอบเทียบแบบจำลอง และ เลือกเหตุการณ์กราฟน้ำท่าในระหว่าง วันที่ 2 สิงหาคม 2542 ถึงวันที่ 18 ตุลาคม 2542 สำหรับใช้ในการตรวจสอบพิสูจน์แบบจำลอง

3) ข้อมูลรูปตัดขวางของแม่น้ำปิงและน้ำแม่กวาง จำนวน 175 และ 25 รูปตัด ตามลำดับ รวมหั้งข้อมูลรูปตัดขวางของที่ดังสถานีวัดน้ำท่าที่กล่าวไว้ในข้อ 2)

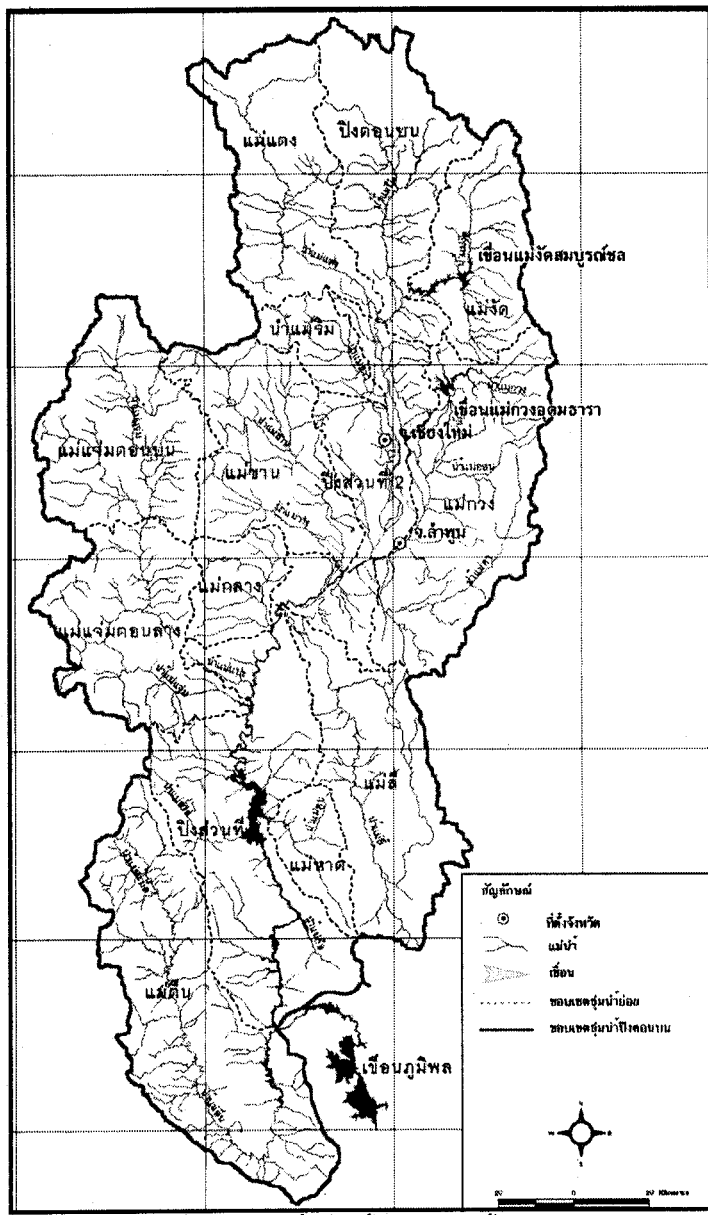
4) ข้อมูลปริมาณการไหลเข้าด้านข้างสำหรับช่วงเวลาเดียวกับกราฟน้ำท่าในข้อ 3) ที่ต้องทำการประเมินค่าจากพื้นที่ลุ่มน้ำอยู่ต่าง ๆ ที่อยู่ระหว่างจุดพิจารณาด้านเหนือน้ำจนถึงจุดพิจารณาด้านท้ายน้ำที่ไม่มีการติดตั้งสถานีวัดน้ำท่าไว้ของลุ่มน้ำปิงตอนบน

5) ข้อมูลคงความสัมพันธ์ระหว่างปริมาณการไหลกับระดับน้ำ ของสถานี PE.2 เพื่อใช้กำหนดเงื่อนไขข้อบทด้านท้ายน้ำ

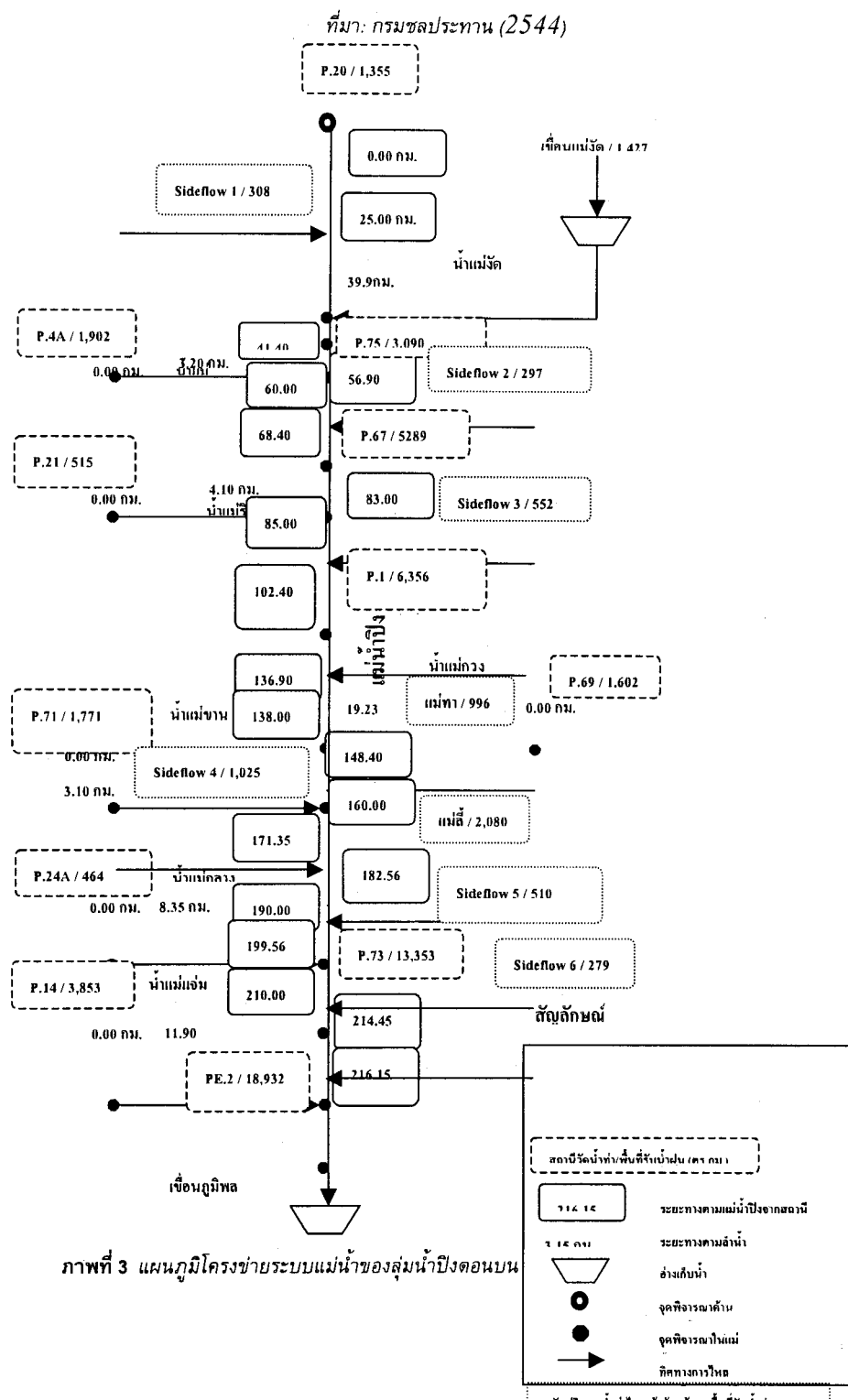
6) สัมประสิทธิ์ความชรุรุของแม่น้ำ ที่จะต้องทำการประเมินโดยการสอบเทียบและตรวจสอบพิสูจน์แบบจำลอง DYMWA V และ แบบจำลอง MIKE 11 HD

7) ข้อมูลกราฟน้ำท่าของสถานีวัดน้ำท่า P.1, P.67, P.73, P.75 และ PE.2 สำหรับช่วงเวลาเดียวกัน

กับกราฟน้ำท่าในข้อ2) เพื่อใช้ในการเปรียบเทียบผลการประเมินกราฟน้ำท่าที่ได้จากแบบจำลอง DYMWAV และ แบบจำลอง MIKE 11 HD กับกราฟน้ำท่าที่ได้จากการบันทึกข้อมูล



ภาพที่ 2 ขอบเขตพื้นที่ลุ่มน้ำย่อยของลุ่มน้ำปิงตอนบน



### เกณฑ์การสอบเทียบและตรวจสอบพิสูจน์แบบจำลอง

สำหรับการสอนเทียบและตรวจสอบพิสูจน์แบบจำลองนั้น จะต้องมีการเปรียบเทียบระหว่าง ปริมาณน้ำท่าที่ได้จากการประเมินด้วยแบบจำลองและปริมาณน้ำท่าที่ได้จากการตรวจวัด ใน การศึกษานี้ ได้พิจารณาใช้ค่าทางสถิติ 2 ค่า คือค่าสัมประสิทธิ์สหสัมพันธ์ (Correlation Coefficient, r) และค่า Efficiency Index (EI) ซึ่งมีรูปแบบสมการดังต่อไปนี้

$$r = \frac{\sum (Q_i - \bar{Q}) \cdot (F_i - \bar{F})}{\sqrt{\sum (Q_i - \bar{Q})^2 \cdot \sum (F_i - \bar{F})^2}} \quad (11)$$

$$EI = \frac{\sum_{i=1}^N (Q_i - \bar{Q})^2 - \sum_{i=1}^N (Q_i - F_i)^2}{\sum (Q_i - \bar{Q})^2} \times 100\% \quad (12)$$

$$\bar{Q} = \frac{1}{N} \sum_{i=1}^N Q_i \quad (13)$$

เมื่อ  $Q_i$  คือ ปริมาณน้ำท่าที่ได้จากการตรวจวัดที่เวลา  $i$ ,  $\bar{Q}$  คือ ค่าเฉลี่ยของปริมาณน้ำท่าที่ได้จากการตรวจวัด  $F_i$  คือ ปริมาณน้ำท่าที่ได้จากการแบบจำลองที่เวลา  $i$ ,  $\bar{F}$  คือค่าเฉลี่ยของปริมาณน้ำท่าที่ได้จากการแบบจำลอง และ  $N$  คือ จำนวนของข้อมูล

### ผลการศึกษา

#### ผลการสอนเทียบแบบจำลอง DYMWA V

การสอนเทียบแบบจำลอง DYMWA V สำหรับเหตุการณ์กราฟน้ำท่าในระหว่างวันที่ 6 สิงหาคม 2542 ถึงวันที่ 9 กุมภาพันธ์ 2543 กระทำได้โดยการปรับค่าสัมประสิทธิ์ความชุกระของแม่นนิ่ง เพื่อให้ผลการเปรียบเทียบระหว่าง กราฟน้ำท่าของปริมาณการไหลที่ได้จากการแบบจำลองกับที่ได้บันทึกไว้ ณ สถานีวัดน้ำท่าต่าง ๆ ที่พิจารณา มีค่าใกล้เคียงกัน โดยสถานีวัดน้ำท่าที่นำมาพิจารณาในการสอนเทียบแบบจำลองประกอบด้วย สถานีวัดน้ำท่า P.75, P.67, P.1, P.73 และสถานี PE.2 ผลการสอนเทียบแบบจำลอง DYMWA V พบว่า กราฟน้ำท่าของปริมาณการไหลที่ได้จากการแบบจำลองกับที่ได้บันทึกไว้ ณ สถานีวัดน้ำท่าต่าง ๆ ที่พิจารณา มีความสอดคล้องกันเป็นที่ยอมรับได้ กล่าวคือ ค่าทางสถิติของความสัมพันธ์สำหรับทุกสถานีที่พิจารณาอยู่ในเกณฑ์ดี โดยค่าสัมประสิทธิ์สหสัมพันธ์ มีค่าอยู่ระหว่าง 0.924 – 0.982 และค่า EI มีค่าอยู่ระหว่าง 70.02 – 87.01 เปอร์เซ็นต์ โดยที่สัมประสิทธิ์ความชุกระของแม่น

นี่ที่ได้จากการสอบเทียบแบบจำลองพบว่า ในเกือบทุกรูปตัดขวางของแม่น้ำปิงและสาขาเมื่อเท่ากับ 0.033 หังนี้ยกเว้นรูปตัดขวางของแม่น้ำปิงที่ระยะทางระหว่าง กม. 59.91 - กม. 136.90 และรูปตัดขวางของน้ำแม่ริม พบว่า มีค่าเท่ากับ 0.04

### ผลการตรวจพิสูจน์แบบจำลอง DYMWA V

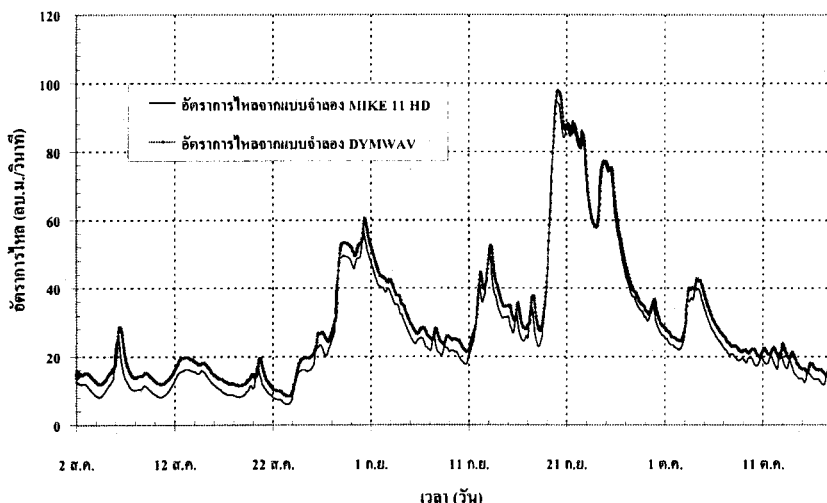
การตรวจพิสูจน์แบบจำลอง DYMWA V กระทำได้โดยการใช้ค่าสัมประสิทธิ์ความชุกระของแม่น้ำในแต่ละรูปตัดขวางของลำน้ำที่ได้จากการสอบเทียบแบบจำลอง DYMWA V มาประยุกต์ใช้กับเหตุการณ์ Grafน้ำท่าในระหว่างวันที่ 2 สิงหาคม 2542 ถึงวันที่ 18 ตุลาคม 2542 จากนั้นทำการเปรียบเทียบผลการประเมินกราฟน้ำท่าของปริมาณการไหลที่ได้จากการสอบเทียบแบบจำลอง DYMWA V กับที่ได้บันทึกไว้ ณ สถานีวัดน้ำท่าต่าง ๆ ที่พิจารณา ซึ่งประกอบด้วย สถานีวัดน้ำท่า P.75, P.1, P.73 และสถานี PE.2 ผลการตรวจพิสูจน์แบบจำลอง DYMWA V พบว่า กราฟน้ำท่าของปริมาณการไหลที่ได้จากการสอบเทียบแบบจำลองกับที่ได้บันทึกไว้ ณ สถานีวัดน้ำท่าต่าง ๆ ที่พิจารณา มีความสอดคล้องกันเป็นที่ยอมรับได้กล่าวคือ ค่าทางสถิติของความสัมพันธ์สำหรับเกือบทุกสถานีที่พิจารณาอยู่ในเกณฑ์ดี โดยค่าสัมประสิทธิ์สหสัมพันธ์ มีค่าอยู่ระหว่าง 0.956 – 0.963 และค่า EI มีค่าอยู่ระหว่าง 86.29 – 92.68 เปอร์เซ็นต์ หังนี้ยกเว้นสถานี P.75 ซึ่งได้ค่า EI ต่อน้ำท่าต่าง ๆ โดยมีค่าเพียง 50.00 เปอร์เซ็นต์ เท่านั้น

อย่างไรก็ตาม ผลการสอบเทียบและตรวจพิสูจน์แบบจำลอง DYMWA V ซึ่งให้ผลการศึกษาที่ไม่ดีเท่าที่ควรในบางสถานีวัดน้ำท่านั้น มีได้เกิดจากแบบจำลอง DYMWA V ไม่มีความสามารถในการประเมินกราฟน้ำท่าได้ใกล้เคียงกราฟน้ำท่าที่ได้ทำการเก็บรวบรวมข้อมูลไว้ แต่เป็นผลจากความถูกต้องและข้อจำกัดของข้อมูลด้านเข้าของแบบจำลอง ดังนั้น ในการตรวจสอบความสามารถของแบบจำลอง DYMWA V ว่ามีความสามารถในประเมินกราฟน้ำหลากหรือไม่นั้น สามารถกระทำได้โดยการนำเหตุการณ์กราฟน้ำท่าที่ประยุกต์ใช้กับแบบจำลอง DYMWA V นำมาประยุกต์ใช้กับแบบจำลอง MIKE 11 HD ซึ่งเป็นแบบจำลองที่ได้รับการยอมรับอย่างแพร่หลาย ถ้าผลการประเมินกราฟน้ำท่าที่ได้จากการสอบเทียบแบบจำลองมีความสอดคล้องกันจะสามารถสรุปได้ว่าแบบจำลอง DYMWA V ที่ได้รับการพัฒนาขึ้นมาสามารถนำไปประยุกต์ใช้ได้ในทางปฏิบัติ ซึ่งการศึกษาในส่วนนี้สรุปไว้ในข้อต่อไปนี้

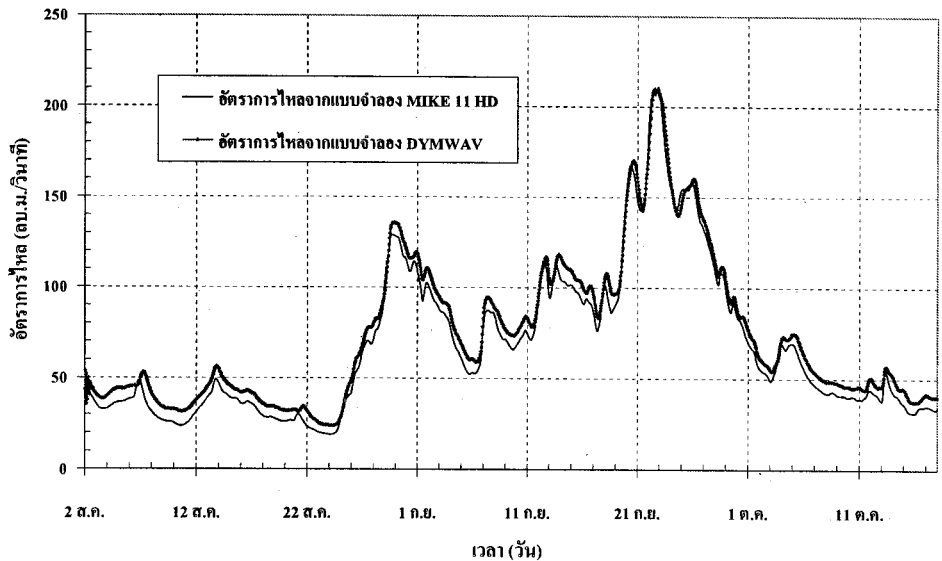
### ผลการตรวจสอบความสามารถของแบบจำลอง DYMWA V

เพื่อการตรวจสอบความสามารถในการประเมินกราฟน้ำท่าของแบบจำลอง DYMWA V จึงได้นำแบบจำลอง MIKE 11 HD มาประยุกต์กับเหตุการณ์กราฟน้ำท่าเดียวกันของลุ่มน้ำปิงตอนบน โดยใช้ข้อมูลด้านเข้าต่าง ๆ ชุดเดียวกันกับที่มีการประยุกต์ใช้กับแบบจำลอง DYMWA V หังนี้ในส่วนของการสอบเทียบและตรวจพิสูจน์แบบจำลอง DYMWA V จากนั้นนำผลการประเมินกราฟน้ำท่าของหังส่องเหตุการณ์ในแต่ละสถานีวัดน้ำท่าที่ทำการสอบเทียบและตรวจพิสูจน์แบบจำลองมาเปรียบเทียบกัน ผลการเปรียบเทียบระหว่าง กราฟน้ำท่าที่ได้จากการสอบเทียบและตรวจพิสูจน์แบบจำลองมาเปรียบเทียบกัน พบว่า กราฟน้ำหลากที่ได้จากการสอบเทียบแบบจำลองหังส่อง พบว่า กราฟน้ำหลากที่ได้จากการสอบเทียบแบบจำลองหังส่อง

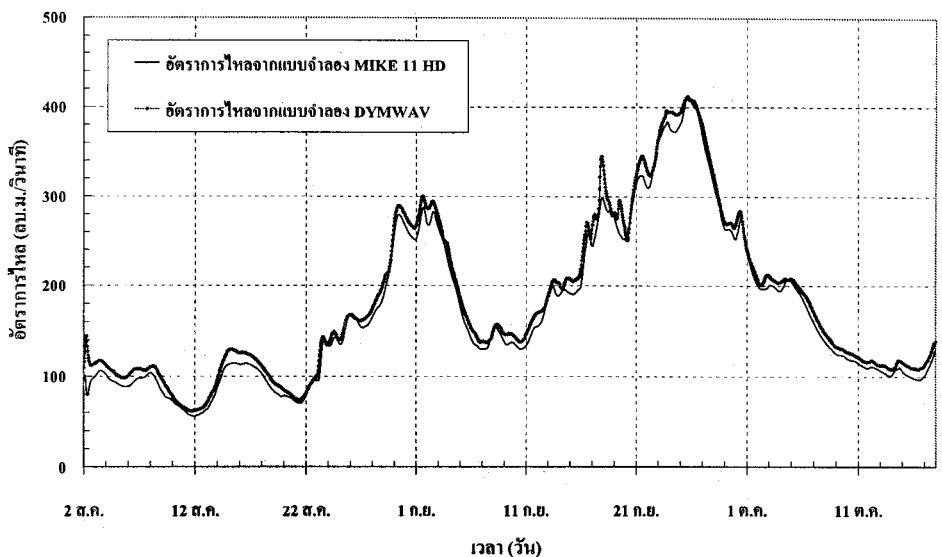
จำลองมีการสอดคล้องกันอยู่ในเกณฑ์ที่ดีมาก กล่าวคือ ผลการวินิเคราะห์ค่าสัมประสิทธิ์สหสมพันธ์ พบว่า มีค่าระหว่าง 0.986 – 0.996 ในกรณีการสอบเทียบ และมีค่าระหว่าง 0.995 – 0.997 ในกรณีการตรวจพิสูจน์ สำหรับค่า EI มีค่าระหว่าง 97.12 – 99.06 เปอร์เซ็นต์ ในกรณีการสอบเทียบ และมีค่าระหว่าง 96.6 – 98.82 เปอร์เซ็นต์ ในกรณีตรวจสอบ พลการเบรียบเทียนกราฟน้ำท่าที่ได้จากการประเมินโดยแบบจำลองทั้งสองสำหรับกรณีการตรวจพิสูจน์แบบจำลองที่สถานีวัดน้ำท่า P.75, P.1, P.73 และสถานี PE.2 แสดงดังในภาพที่ 4 ดึงภาพที่ 7



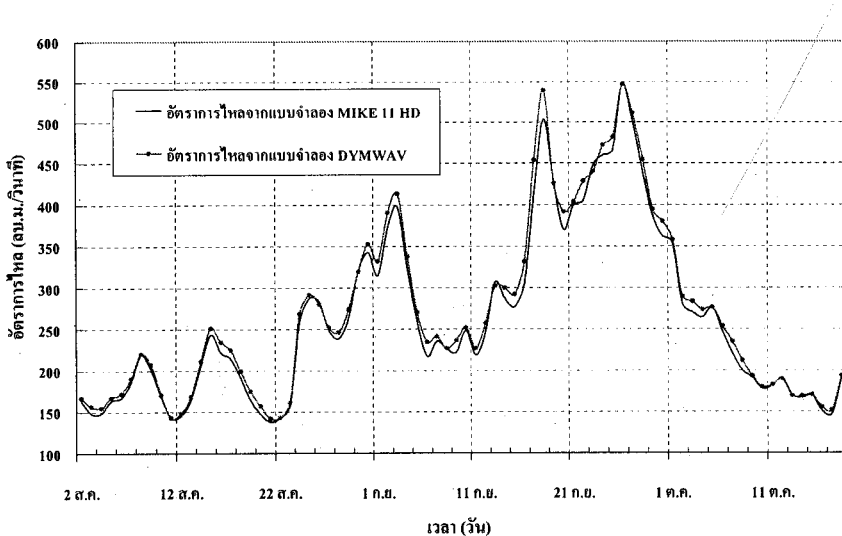
ภาพที่ 4 การเบรียบเทียบอัตราการไฟลุยชั่วโมง ที่ได้จากแบบจำลอง DYMWAV กับที่ได้จากแบบจำลอง MIKE 11 HD ที่จุดพิจารณาสถานี P.75 กรณีตรวจพิสูจน์แบบจำลอง



ภาพที่ 5 การเปรียบเทียบอัตราการไฟคลายช้าไม้งา ที่ได้จากการแบบจำลอง DYMWAV กับที่ได้จากการแบบจำลอง MIKE 11 HD ที่จุดพิจารณาสถานี P.I กรณีตรวจสอบแบบจำลอง



ภาพที่ 6 การเปรียบเทียบอัตราการไฟคลายช้าไม้งา ที่ได้จากการแบบจำลอง DYMWAV กับที่ได้จากการแบบจำลอง MIKE 11 HD ที่จุดพิจารณาสถานี P.73 กรณีตรวจสอบแบบจำลอง



ภาพที่ 7 การเปรียบเทียบอัตราการไฟล์รายวัน ที่ได้จากแบบจำลอง DYMWAVER กับที่ได้จากแบบจำลอง MIKE 11 HD ที่จุดพิจารณาสถานี PE.2 กรณีตรวจสอบแบบจำลอง

### สรุป

แบบจำลอง DYMWAVER ซึ่งเป็นแบบจำลองคลื่นพลศาสตร์ที่ได้รับการพัฒนาในการศึกษานี้ มีความสามารถในการจำลองสภาพการไฟล์ที่เปลี่ยนแปลงไปตามเวลาแบบหนึ่งมิติ ที่ได้รับผลกระทบจากการเกิดน้ำทึบและการขึ้นลงของระดับน้ำทะเล จากการนำแบบจำลอง DYMWAVER ไปประยุกต์กับพื้นที่สู่น้ำปีงตอนบน เพื่อตรวจสอบความสามารถในการเลียนแบบพฤติกรรมการไฟล์ในกรณีที่ได้รับอิทธิพลจากการเกิดน้ำทึบ พบว่า แบบจำลอง DYMWAVER สามารถใช้จำลองสภาพการไฟล์ในกรณีดังกล่าวได้เป็นอย่างดี ซึ่งพิสูจน์ได้จากการสอบเทียบและการตรวจสอบพิสูจน์แบบจำลอง โดยพิจารณาจากค่าทางสถิติของความเข้ากันได้ระหว่างกราฟน้ำท่าที่ได้จากแบบจำลอง และกราฟน้ำท่าที่ได้จากการเก็บรวบรวมข้อมูล ณ สถานีน้ำท่าต่าง ๆ ในพื้นที่ศึกษา โดยสัมประสิทธิ์สหสัมพันธ์ และ Efficiency Index มีค่าอยู่ในเกณฑ์ที่สูง นอกจากนั้นแล้วได้ทำการเปรียบเทียบความสามารถของแบบจำลอง DYMWAVER กับแบบจำลอง MIKE 11 HD ผลการเปรียบเทียบกราฟน้ำท่าที่ได้จากแบบจำลองทั้งสองพบว่าใกล้เคียงกันมาก ดังนั้นสามารถสรุปได้ว่า แบบจำลอง DYMWAVER มีประสิทธิภาพในการจำลองสภาพการไฟล์ของน้ำในทางน้ำแบบหนึ่งมิติแบบไม่คงที่ตามเวลาได้เป็นอย่างดี อย่างไรก็ตาม ขีดความสามารถในการรับข้อมูลด้านน้ำ การแสดงผลการคำนวณ ตลอดจนความสามารถในรายละเอียดบางด้านนั้นจัดว่าด้อยกว่าแบบจำลอง MIKE 11 HD เนื่องจากแบบจำลอง DYMWAVER อยู่ในขั้นต้นของงานวิจัยนี้ซึ่งพร้อมที่จะได้รับการพัฒนาให้มีขีดความสามารถที่เพิ่มขึ้นอย่างต่อเนื่อง เพื่อนำมาใช้เป็นทางเลือกในการศึกษาด้านการจำลองแบบการเคลื่อนที่ของกราฟน้ำท่าในลำน้ำ การศึกษาด้านน้ำท่วม ตลอดจนการบรรเทาภาวะน้ำท่วมของประเทศโดยไม่ต้องสูญเสียค่าใช้จ่ายในการจัดทำแบบจำลองด้านอุทก-พลศาสตร์มาประยุกต์ใช้งาน

## เอกสารอ้างอิง

- Chatrcharoenmitr, V. 1977. **Flood Flow Computation in the Middle Chao Phraya River System.** [Master Thesis]. Bangkok: Asian Institute of Technology .
- Fread, D. L. 1973. Effect of Time Step Size in Implicit Dynamic Routing. **Water Resour.** 9, 2 : 338-351
- Maijer, Th.J. G. P., C. B. Vreugdenhil. and M. De Vries. 1965. A Method of Computation for Non-Stationary Flow in Open Channel Network. **Delft Hydraulics Labolatory Publication.** 34.
- Torranin, P. 1969. **A Tidal Mathematical Model of the Chao Phraya River.** [Master Thesis]. Bangkok: Asian Institute of Technology.
- Tingsanchali, T. and A. Arbhabhirama. 1978. Hydrodynamic Model of the Chao Phraya River System. **Research Report.** 81,I – III.
- Vatcharasinthu, C. 1977. **Preliminary Flood Control Investigation in The Lower Chao Phraya River.** [Master Thesis]. Bangkok: Asian Institute of Technology.